

# 若尔盖盆地玛曲段末次冰消期以来的沉积环境和地表过程

白鑫<sup>1</sup>, 查小春<sup>1</sup>, 黄春长<sup>1</sup>, 周亚利<sup>1</sup>, 庞奖励<sup>1</sup>, 张玉柱<sup>2</sup>, 王娜<sup>1</sup>, 韩宜欣<sup>1</sup>

1. 陕西师范大学地理科学与旅游学院, 西安 710119

2. 陕西省地表系统与环境承载力重点实验室, 西北大学城市与环境学院, 西安 710127

**摘要** 【目的】若尔盖盆地位于气候敏感区域, 地表环境十分复杂, 揭示若尔盖盆地末次冰消期以来地表过程对环境变化的响应规律, 以及青藏高原环境变化与地表过程对全球变化的响应具有重要意义。【方法】通过广泛考察, 在若尔盖盆地玛曲河段的冰水—洪积扇前沿高台地上, 发现一组沉积序列完整的地层剖面, 并进行系统采样。粒度特征分析以及 OSL 测年, 研究了若尔盖盆地末次冰消期以来的沉积环境和地表过程变化。【结果】14.5 ka 之前的末次冰期, 出自西倾山东端哇日河的冰水—山洪过程活跃, 在山麓快速堆积, 形成了厚层的冰水扇—洪积扇沙砾石层; 14.5~11.7 ka 的 Bolling-Allerød 暖期, 气候温暖湿润, 沿洼地形成的淤泥质沼泽环境, 发育了灰绿色砂质粉砂沉积物; 但在 Younger Dryas 时期气候突变恶化, 地表冻融作用使得地表灰绿色泥沼土层上部发生了褶皱变形; 11.7~8.5 ka 的全新世早期, 气候相对冷干, 风沙活动盛行, 在强劲的高原面风动力作用下, 浅洼地堆积粗粉砂, 发育了风沙与泥沼土互层沉积相; 8.5~3.1 ka 气候温暖湿润期, 成壤作用强烈, 沉积物中黏土含量明显增加并发育为古土壤; 3.1 ka 以来的全新世晚期, 气候相对干旱, 风沙活动盛行, 堆积的粗粉砂在全新世晚期的后期, 因温度和湿度回升而被改造成亚高山草甸黑土。【结论】说明末次冰消期以来若尔盖盆地的沉积环境和地表过程, 响应了全球环境变化演变规律, 是揭示区域环境演化的重要信息载体。

**关键词** 若尔盖盆地; 玛曲段; 黄河; 末次冰消期; 地表过程; 环境变化

**第一作者简介** 白鑫, 女, 1990年出生, 博士研究生, 资源开发与环境演变, E-mail: baixinz@126.com

**通信作者** 查小春, 男, 教授, E-mail: zhaxch@snnu.edu.cn

**中图分类号** P532 P597.3 **文献标志码** A

## 0 引言

沉积地层作为地球表层系统与气候系统相互作用的产物, 是揭示区域地表过程和环境演化的重要信息载体<sup>[1]</sup>。位于中纬度地区的青藏高原, 因其特殊的地理位置和下垫面性质形成了独特的环流系统, 不仅对北半球的气候产生极大影响, 同时复杂的地表过程也对气候变化的响应极为敏感<sup>[2]</sup>。地处青藏高原东缘的若尔盖盆地, 是季风环流(东亚季风、西风带、高原季风)交互地带, 对气候变化的响应极为敏感<sup>[3-4]</sup>。第四纪初期若尔盖盆地曾发

收稿日期: 2023-06-28; 收修改稿日期: 2023-11-07

基金项目: 国家自然科学基金项目(41971116, 42271046, 42277449); 中央高校基本科研业务费专项资金资助(2020TS102) [Foundation: National Natural Science Foundation of China, No. 41971116, 42271046, 42277449; Fundamental Research Funds for the Central Universities, No. 2020TS102]

育了面积达 10 000 km<sup>2</sup> 的古湖<sup>[5]</sup>, 但在更新世晚期, 古湖泊的消亡以及黄河水系的贯通, 成为青藏高原东部黄河水系格局形成与发展演变过程当中具有标志性的地貌与水文事件, 改变了整个黄河流域水文地貌格局和环境变化过程<sup>[6]</sup>。一些学者通过钻孔芯 (RH 孔、RM 孔等)、泥炭沼泽、动物化石、植物孢粉、河流阶地沉积序列等材料研究了若尔盖古湖消亡以来的环境变化<sup>[7-10]</sup>。综合来看, 围绕若尔盖古湖的消亡及黄河贯穿古湖的时间、机制这些方面的研究较多, 而通过地层序列所揭示的古湖消亡以来的地表过程对第四纪气候演化的响应关系的研究相对缺乏<sup>[9]</sup>。为此, 通过对若尔盖盆地实地考察, 在黄河流出若尔盖盆地瓶颈河段的玛曲老桥北向东 350 m 处的高台地陡坎上, 发现一处沉积完整、层位清晰的剖面。通过对地层沉积物粒度特征分析和测年, 研究了若尔盖盆地末次冰消期以来的沉积环境和地表过程演化, 该研究成果对于揭示若尔盖盆地末次冰消期以来地表过程对环境变化的响应规律, 以及青藏高原环境变化与地表过程对全球变化的响应具有重要意义。

## 1 研究区概况

地处青藏高原东缘的若尔盖盆地, 是一个四面环山的断陷盆地, 西起阿尼玛卿山、北临西倾山、东达岷山、南抵邛崃山<sup>[10]</sup>。主体海拔高程介于 3 400~3 450 m<sup>[6]</sup> (图 1)。盆地内地貌以宽谷缓丘为基本特征, 发育有低山、丘陵、河湖阶地、月牙形台地、河漫滩、冰川宽谷、湖群洼地、古风成沙丘等地貌类型<sup>[5]</sup>。盆地整体地势相对舒缓开阔, 河谷切割深, 地形高差悬殊, 地势险峻。黄河自采日玛乡流入盆地, 在盆地中心的唐克镇流向自东南向西形成“U”型弯道, 再由玛曲县流出若尔盖盆地<sup>[11]</sup>。

若尔盖地区属高原寒温带湿润季风气候, 年平均气温 1.1 °C~1.2 °C, 多年平均年降水量 600~650 mm, 主要集中在 5—7 月<sup>[12]</sup>。由于全年气温较低, 使得该区域内发育了大面积的沼泽湿地与冰川冻土。区域内全年起风日时数均达 200 d<sup>[13]</sup>, 多风沙活动, 风向多变, 其中以西、西北、东北方向为起风沙的主导风向<sup>[14]</sup>。由于近年来气候变暖, 在高原季风、西风带的交互影响下, 使得若尔盖地区的沙漠化面积扩大, 沙丘在盆地内呈破碎斑块状分布, 主要分布在河道、退缩沼泽等区域<sup>[15]</sup>。河流阶地、河漫滩、干涸的沼泽区及出露的裸露古风沙沉积成为该区域风沙活动的主要物源区<sup>[16]</sup>。

黄河右岸的玛曲县城, 处于若尔盖盆地与欧拉秀玛—玛曲断陷宽谷草原接壤位置 (图 1a)。末次冰期, 出自于西倾山东端哇日河的冰水—山洪过程非常活跃, 在山麓地带快速堆积, 于玛曲县城所在位置形成了一处东西长 10 km、南北宽 5 km 的巨大冰水—洪积扇<sup>[5]</sup>。

深厚的冰水—洪积扇沙砾石层，迫使黄河河槽向南侧移到阿米欧拉基岩山麓，然后向西流出盆地。通过实地调查，发现若尔盖古湖消亡后，黄河在该河段切割古湖底分别形成了 T<sub>1</sub>、T<sub>2</sub> 两级阶地和两级台地，T<sub>1</sub> 阶地即玛曲水文站所在的台地高出黄河平水位 8~10 m，形成于全新世中期<sup>[10,12,17]</sup>；T<sub>2</sub> 阶地高出黄河平水位 15~16 m，形成在末次冰消期<sup>[6,18]</sup>。而形成的两级台地，分别高出黄河平水位 3~5 m 和 1~3 m。

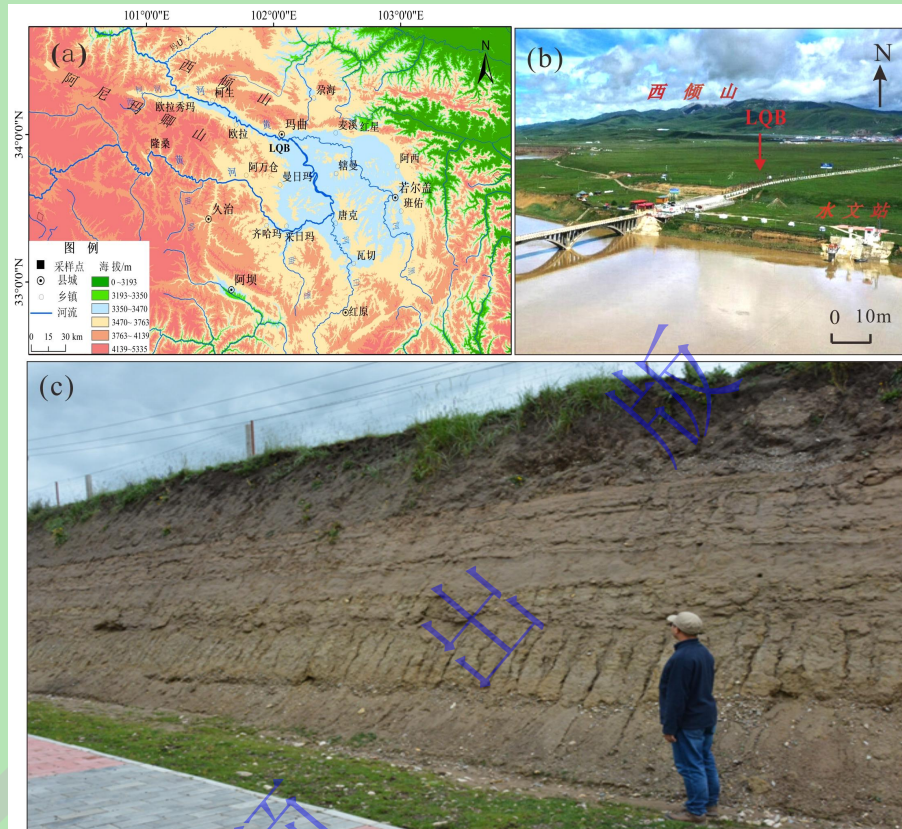


图 1 (a) 若尔盖盆地水系及研究地点位置；(b) 玛曲老桥北研究地点地貌与景观照片；(c) 老桥北地层剖面照片

Fig.1 (a) Map showing the river system and study location in the Zoige Basin; (b) photo of the landscape at the study site; (c) the Laoqiaobei (LQB) sediment profile

## 2 剖面选择

位于冰水扇—洪积扇前沿的玛曲县黄河老桥北端水文站北侧高台地（图 1b, c），因道路扩展施工，而开挖露出一组完整的松散沉积物地层剖面（即 LQB 剖面）（图 2）。将 LQB 剖面表层的沉积物进行清理后，野外详细观察其质地、颜色、结构、构造等特征后，将 LQB 剖面从上向下划分出 4 个不同的地层单元，并在关键层位采集了 5 个释光样品和 4 个沉积样品。LQB 剖面各层位具体特征描述如下。

(1) 现代草甸黑土层 MS (LQB-1): 0~50 cm, 灰棕色 (7.5YR5/2), 湿润时为黑棕色



(7.5YR2/1) 细砂质粉砂质地，团粒构造，疏松多孔，含有密集的植物根系。

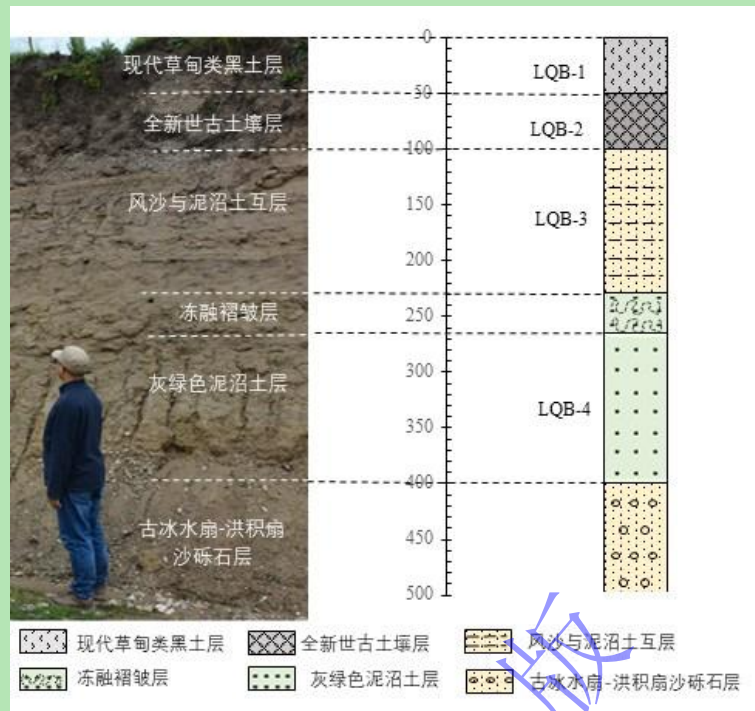


图2 若尔盖盆地 LQB 剖面沉积剖面地层序列

Fig.2 Stratigraphic sequence of the LQB profile in Zoige Basin

(2) 全新世古土壤层  $S_0$  (LQB-2): 50~100 cm, 棕灰色 (7.5YR6/1), 细砂质粉砂质地, 团粒—团块构造, 土壤富含有机质, 成熟度极高。下部含有锈黄色斑。在 90~95 cm 采集释光测年样品 OSL-1。

(3) 风沙与泥沼土互层 (LQB-3): 100~230 cm, 淡黄橙色 (10YR8/2) 细砂质风成沙, 与浊黄橙色 (10YR7/3) 粉砂质泥沼土互层, 疏松易坍塌, 有锈黄色斑。该层位顶部 110~115 cm 处采集光释光测年样品 OSL-2; 在底部 225~230 cm 处采集光释光测年样品 OSL-3。

(4) 浅洼地灰绿色泥沼土层 (LQB-4): 230~400 cm, 橄榄灰色 (10Y6/2), 粉砂与细砂质粉砂, 水平层理, 为冰水扇—洪积扇前沿浅洼地淤泥质沼泽沉积物, 其顶部有冻融褶皱现象。在该层位顶部 230~235 cm 处采集光释光测年样品 OSL-4; 底部 390~395 cm 处采集光释光测年样品 OSL-5。

(5) 古冰水扇—洪积扇沙砾石层: 400 cm 以下未见底, 松散, 大小混杂, 分选较差, 磨圆度为 1 级, 碎屑颗粒呈次棱角状。

### 3 研究方法

### 3.1 释光测年方法

野外垂直剖面切除 30 cm 厚的外层风化土壤后，用长 25 cm 直径 6 cm 不锈钢钢管打入剖面层位，取出 OSL 样品后，马上用锡箔纸、黑色塑料袋等避光材料密封钢管两端，避免曝光和水分散失。在实验室内去除钢管两端 3 cm 的样品，用于 U、Th、K 和含水量测试。剩余中间未曝光样品，放置于 1 000 mL 的烧杯中，分别加入 10% 的盐酸和 30% 的过氧化氢，去除碳酸盐和有机质，然后筛选出 90~125  $\mu\text{m}$  粒径组的样品，用 40% 的氢氟酸 (HF) 刻蚀去除长石矿物和石英颗粒表面受  $\alpha$  辐射影响的部分，并用 10% 的盐酸去除样品中的氟化物，最后用红外释光 (IRSL) 检测石英的提纯度<sup>[19]</sup>。

样品的等效剂量 De 值采用单片再生剂量法 (single aliquot regenerative dose protocol, SAR)<sup>[20]</sup>，在陕西师范大学 TL/OSL 释光断代实验室利用 Riso-TL/OSL DA-20 型全自动释光仪测定。考虑到风成沉积及水成沉积的石英矿物在最后一次被埋藏前晒退情况存在差异，为确保得到的年龄真实可靠，对测得的等效剂量 DE 值做了晒退检验，分离出样品中的快速、中速、慢速组分分别进行分析，并利用 Galbraith 等<sup>[21]</sup>提出年龄模型计算最终 DE 值。

样品中的 U、Th、K 含量在西安地质调查中心用美国热电公司生产的 iCAP 7400 型全谱直读等离子体光谱仪 (ICP-OES) 和 iCAP RQ 型电感耦合等离子体质谱仪 (ICP-MS) 测得。对样品环境剂量率影响的宇宙射线，是基于样品经纬度、海拔高度、埋藏深度和样品密度的计算获得。含水量则是在实验室实测的基础上，结合研究区土壤水分研究结果进行校正获得。样品的环境剂量率由相关公式和转换系数得出，最后基于得出的环境参数和样品的等效剂量 De 值，最终得出样品的埋藏年龄<sup>[22]</sup>。

### 3.2 粒度测试方法

沉积样品带回实验室进行自然风干后，称取适量风干沉积样品，用 10% 的过氧化氢和 10% 的盐酸去除有机质和碳酸盐后，将样品溶液用蒸馏水洗为中性为止。然后用六偏磷酸钠 (( $\text{NaPO}_3$ )<sub>6</sub>) 溶液，在超声波震荡仪内充分震荡分散，采用美国 Beckman 公司生产的 LS13320 激光粒度仪测试，粒度范围为 0.02~2 000  $\mu\text{m}$ ，遮光度介于 8%~12%，相对误差小于 4%，每个样品需要连续测试 3 次，取其平均测试结果进行分析。

## 4 结果与分析

### 4.1 测年结果

根据剖面地层深度与 OSL 测年结果可知 (表 1、图 3)，LQB 剖面的年龄值从底部到顶

部呈现逐层递减的特征，与地层序列对应良好，符合沉积学规律，说明样品的 OSL 测年结果合理可靠。

表 1 若尔盖盆地 LQB 剖面 OSL 年代学样品环境剂量率表

Table 1 Environmental dose rates of LQB profile chronology samples in the Zoige Basin

OSL 测年样品编号	深度/cm	沉积相层位	U (ug/g)	Th (ug/g)	K/%	含水量 /%	环境剂量率/Gy	OSL 年龄及误差/ka
OSL-1	90~95	全新世古土壤层底部	2.06±0.3	10.27±0.7	1.69±0.04	20±3	2.69±0.08	8.11±0.60
OSL-2	110~115	风沙与泥沼土层顶部	1.97±0.3	9.91±0.6	1.64±0.04	22±3	2.58±0.08	9.23±0.73
OSL-3	225~230	风沙与泥沼土层底部	1.91±0.3	11.28±0.7	1.96±0.04	22±3	2.83±0.09	11.81±0.63
OSL-4	230~235	灰绿色泥沼土层顶界	2.04±0.3	10.86±0.7	1.82±0.04	23±3	2.74±0.08	13.08±0.88
OSL-5	390~395	灰绿色泥沼土层底界	2.22±0.3	11.84±0.7	2.09±0.04	23±3	2.99±0.09	14.50±0.62

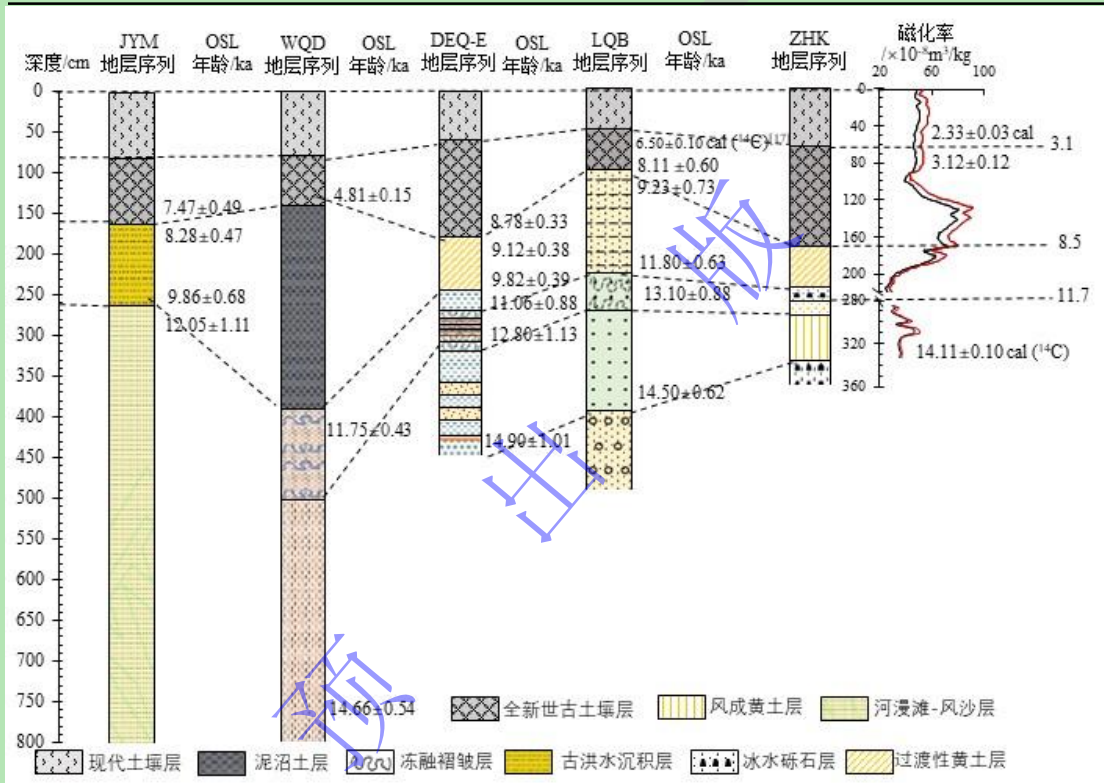


图 3 若尔盖盆地 JYM 剖面<sup>[9]</sup>、WQD<sup>[14]</sup>剖面、DEQ-E<sup>[22]</sup>剖面、LQB 剖面与 ZHK<sup>[23]</sup>剖面地层与年龄对比图  
Fig.3 Stratigraphic and chronological comparison of JYM<sup>[9]</sup>, WQD<sup>[14]</sup>, DEQ-E<sup>[22]</sup>, LQB, and ZHK profiles<sup>[23]</sup> in the Zoige Basin

LQB 剖面底部古冰水扇—洪积扇砂砾石层之上的灰绿色泥沼土层 LQB-4 底界 390~395 cm 年的 OSL 龄为 14.50±0.62 ka，玛曲县城西侧黄河右岸的 ZHK 剖面<sup>[23]</sup>风成黄土底部的 <sup>14</sup>C 测年结果为 14.11±0.10 cal. ka（图 3），说明 LQB 剖面底部的古冰水扇—洪积扇沉积物形成于 14.5 ka B.P.之前。-

灰绿色泥沼土层 LQB-4 顶界 230~235 cm 的 OSL 测年结果为 13.08±0.88 ka，风成沙与泥沼土互层 LQB-3 底部 225~230 cm 的 OSL 年龄为 11.81±0.63 ka，说明 LQB-4 形成于 14.5~11.7 ka B.P.之间。其中在该层顶部可见冻融褶皱变形，这一现象在若尔盖盆地西部的

WQD 剖面<sup>[14]</sup>和 DEQ 剖面<sup>[22]</sup>均存在, 其冻融褶皱发育年代在 12.7~11.7 ka B.P.之间, 结合 LQB 剖面地层深度与 OSL 释光年代结果, 表明泥沼土层顶部的冻融褶皱变形发生在 12.7~11.7 ka B.P.期间。

风成沙与泥沼土互层 LQB-3 底部 225~230 cm 的 OSL 年龄为  $11.81 \pm 0.63$  ka, 其顶部 OSL 年龄为  $9.23 \pm 0.73$  ka, 表明该层形成于 11.7~8.5 ka B.P.期间, 这与潘保田等<sup>[17]</sup>黄河大桥附近盆地面的沙砾石层上的沼泽相沉积  $^{14}\text{C}$  测年  $12.10 \pm 0.15$  ka 结果基本一致。

全新世古土壤层 LQB-2 底部 90~95 cm 的 OSL 年龄为  $8.11 \pm 0.60$  ka, 这与 DEQ 剖面中古土壤底部 OSL 释光测年结果  $8.80 \pm 0.33$  ka 结果也一致<sup>[22]</sup>, 潘保田等<sup>[17]</sup>对黄河玛曲 T<sub>1</sub> 阶地的古土壤中部  $^{14}\text{C}$  测年为  $6.50 \pm 0.10$  ka。通过与 ZHK 剖面<sup>[23]</sup>的地层年代框架对比, 表明古土壤发育形成于 8.5~3.1 ka B.P.期间。3.1 ka B.P.之后, 亚高山草甸黑土形成。

#### 4.2 粒度特征分析

沉积物的粒度组成特征是判断沉积环境揭示沉积动力的重要指标。根据 LQB 剖面粒度分布频率曲线 (图 4) 和粒度组成特征 (表 2) 可知, LQB-1 与 LQB-2 的粒度分布频率曲线具有相似的特征, 峰态偏正, 呈双峰分布, 峰度分别为 0.90、0.88, 为中等尖锐, 其主峰的众数粒径落在粗粉砂区间的 38~45  $\mu\text{m}$ , 二者的主要粒径组分落在粗粉砂 (16~63  $\mu\text{m}$ ) 和细粉砂 (2~16  $\mu\text{m}$ ) 范围内, 其中粗粉砂组分占比高达 42%, 细粉砂组分占比均大于 31%, 且相差较小, 说明二者可能受到相同的沉积动力环境影响。同时, LQB-1 和 LQB-2 的粒度分布频率曲线均在细粒端的 6~9.5  $\mu\text{m}$  存在次峰, 二者的次峰百分比介于 1.6%~1.8% 之间, 黏土含量较高, 说明二者均受到一定成壤改造作用。其中 LQB-1 的粒度分布频率曲线的主峰百分比 (3.81%) 明显大于 LQB-2 的主峰百分比 (3.22%), 且 LQB-1 的中值粒径 (20.46  $\mu\text{m}$ ) 和平均粒径 (24.83  $\mu\text{m}$ ) 均高于 LQB-2, 表明 LQB-2 的成壤强度高于 LQB-1。结合野外观察发现, LQB-1 具有团粒构造, 疏松多孔, 含有密集植物根系, 而 LQB-2 具有团粒—团块构造, 富含有机质, 成熟度极高, 下部含有锈黄色斑, 说明 LQB-2 为古土壤, 其成壤强度高于 LQB-1 的现代草甸黑土。

图 4 中 LQB-3 的粒度分布频率曲线呈现明显的单峰型, 偏度 0.42, 呈正偏态, 众数粒径落在粗粉砂 (30~38  $\mu\text{m}$ ) 范围内, 表明沉积物以粗粉砂为主, 同时, 表 2 可见, LQB-3 的粗粉砂组分的含量在整个剖面中最高, 为 49.1%, 同时黏土 (<2  $\mu\text{m}$ ) 含量较低 (12.2%), 表明该层沉积物为质地较粗的粉砂。结合野外观察发现, 该层沉积物呈现淡黄



橙色 (10YR8/2) 风成沙与浊黄橙色 (10YR/3) 粉砂质沼泽互层, 整体比较疏松, 与粒度组分中含有较高含量的粉砂 (2~63  $\mu\text{m}$ ) 和较低含量的黏土 (<2  $\mu\text{m}$ ) 特征相对应。表明 LQB-3 是强劲风力搬运作用的风成沙, 在区域浅洼地堆积形成了风沙与泥沼土互层沉积。

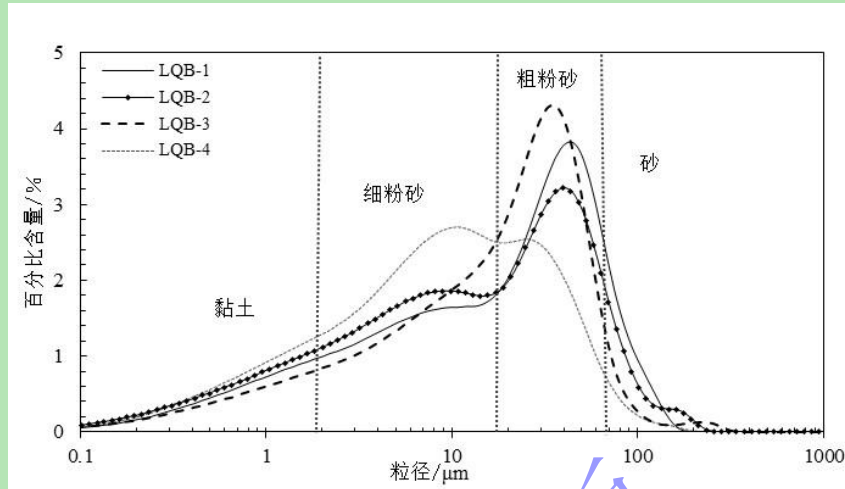


图4 若尔盖盆地 LQB 剖面粒度自然频率分布曲线

Fig.4 Grain-size distribution frequency curve of the LQB profile in the Zoige Basin

表2 若尔盖盆地 LQB 剖面沉积物粒度特征表

Table 2 Characteristic values of grain-size of the LQB profile in the Zoige Basin

样品编号	黏土 <2 $\mu\text{m}/\%$	细粉砂 2~16 $\mu\text{m}/\%$	粗粉砂 16~63 $\mu\text{m}/\%$	砂 >63 $\mu\text{m}/\%$	中值粒径 $Md$ ( $\mu\text{m}/\%$ )	平均粒径 $Mz$ ( $\mu\text{m}/\%$ )	峰度 $Kg$	标准偏差 $\delta$	偏度 $Sk$
LQB-1	13.91	31.3	42.7	12.09	20.46	24.83	0.9	2.19	0.38
LQB-2	16.31	35.59	38.07	10.03	14.49	21.53	0.88	2.28	0.27
LQB-3	12.2	32.16	49.51	6.12	19.76	21.72	1.02	1.98	0.42
LQB-4	17.56	47.18	31.82	3.44	9.53	13.35	0.95	2.05	0.19

LQB-4 的粒度分布频率曲线特征与其他地层的粒度分布频率曲线区别较大 (图4、表2), 呈对称双峰马鞍状, 主峰众数粒径处于 10~15  $\mu\text{m}$ , 次峰的众数粒径范围落在细粉砂 28~36  $\mu\text{m}$  内, 黏土 (<2  $\mu\text{m}$ ) 组分含量为整个剖面中最高, 砂 (>63  $\mu\text{m}$ ) 含量仅占 3.44%, 表明该层沉积物的整体粒径偏细, 属于细粉砂范畴。另外 LQB-4 的偏度为 0.19, 曲线呈现近正态分布, 峰度 0.95, 峰型较为平坦, 表明 LQB-4 分选情况较差 (图4), 表明该层沉积物与静水环境中有关。根据野外观察该层沉积物具有水平层理, 其下层为大小混杂、磨圆度中差的冰水扇—洪积扇层, 因此结合粒度特征, 及其剖面所在的位置, 说明 LQB-4 为冰水扇—洪积扇前沿浅洼地沼泽环境下形成的沉积物。

## 5 讨论

沉积地层作为地球表层系统与气候系统相互作用的产物, 是区域环境演化的重要信息载体, 被广泛应用于地—气互馈耦合机制的研究中<sup>[1]</sup>。若尔盖盆地受到多种季风系统的交



互影响, 自然环境复杂脆弱, 对气候变化响应极为敏感。多变的环境作用下形成了多样的地貌类型和沉积地层, 成为研究区域环境变化与地表过程对气候变化响应研究的理想区域<sup>[22]</sup>。基于本文中的研究结果, 结合 LQB 剖面各沉积地层沉积物的野外宏观特征、测年结果和粒度特征分析, LQB 剖面记录了若尔盖盆地 14.5 ka B.P. 以来地表过程的变化。

14.5 ka B.P. 之前的末次冰消期, 全球气候整体寒冷, 格陵兰冰芯 2 阶段及深海氧同位素 MIS2 阶段对这一阶段的寒冷气候都有记录<sup>[24-25]</sup>; 青藏高原地区在末次冰期覆盖大面积冰川, 盛冰期阶段位于若尔盖盆地周边的阿尼玛卿山的冰川面积为现代冰川面积的 7.5 倍, 年保玉则山的冰川面积则高于现代 206 倍, 温度较现代低 6 °C ~ 9 °C<sup>[26]</sup>。但是, 根据 Grootes *et al.*<sup>[25]</sup> 研究, 末次冰期特别是晚冰期, 气候也存在频繁的冷暖突变, 其中格陵兰冰芯揭示的 7 次剧烈变暖事件与青藏高原的古里雅冰芯一一对应<sup>[27]</sup>, 与此同时若尔盖 RM 孔的孢粉及 RH 孔的泥炭都记录到多次极强变暖事件, 其频率和幅度明显大于北大西洋地区<sup>[7-8, 28]</sup>, 在此气候背景下, 若尔盖盆地高山冰川融化, 山区冰融水引发山洪过程活跃, 洪水携带的冰水—洪水沉积物在山麓快速堆积。发生于西倾山东端的哇日河的冰水—山洪过程, 使黄河北侧玛曲县城所在地形成了的面积约 50 km<sup>2</sup> 巨大的冰水扇—洪积扇, 沉积了厚层沙砾石层, 迫使黄河向南侧移到阿米欧拉基岩山麓, 然后向西流出盆地<sup>[5]</sup>。根据野外考察, 我们发现这一地表过程不仅在黄河玛曲段老桥北剖面中发现, 同时玛曲县城西侧黄河北岸的 ZHK 剖面底部也记录有同时期形成的冰水扇—洪积扇地层<sup>[23]</sup>, 表明这一时期冰水—洪水过程规模较大。并且我们在野外考察中还发现仅从欧拉乡—柯生乡间黄河两岸, 分布的高出河水位 60~70 m 冰水扇—洪积扇直立陡崖足以说明此时期来自西倾山与阿尼玛卿山的河流, 不仅来水量大, 而且河流侵蚀动能也巨大。

14.5~11.5 ka B.P. 为末次冰期的晚期, 全球气温回暖, 冰川融化、海平面回升, 太阳辐射增强, Skinner 等<sup>[29]</sup> 通过对浮游有孔虫和底栖有孔虫的 <sup>14</sup>C 测年发现南极深层水对流活动在 Bølling~Allerød 暖期时有所加强; Blanchon 等<sup>[30]</sup> 研究也记录了太平洋 14.2 cal. ka B.P.、11.5 cal. ka B.P. (Bølling~Allerød 暖期) 冰融水脉冲事件, 而长江入海口也在这一时期先后发育了河口湾和三角洲沉积体系<sup>[31]</sup>; 与此同时, 青藏高原在 Bølling~Allerød 暖期多地区的湖泊 (色林错、苟弄错、青海湖、扎仓茶卡等) 出现低于 MIS3 阶段而高于全新世大暖气的次高湖面<sup>[32-33]</sup>。古里雅冰芯  $\delta^{18}\text{O}$  演化序列记录到青藏高原从 Bølling 期到 Allerød 期的温度上升约 2 °C<sup>[34]</sup>。同时若尔盖地区对南亚季风的响应加强, 冰川融水和降雨事件急速增加,

导致青藏高原黄河源地区的若尔盖盆地,在该时段发生多期古洪水事件<sup>[22,35]</sup>,并在冰水扇—洪积扇前沿的洼地形成了沼泽环境。LQB 剖灰绿色细砂质粉砂沉积物粉砂含量高达 79%,粒度自然频率曲线双峰正态分布的特征,表明其为长期稳定的静水动力环境下发育沉积。

但由于末次冰期晚期 Younger Dryas 气候恶化、温度急剧降低,在此时期各地山岳冰川再次扩展,雪线下降<sup>[36-37]</sup>。格陵兰 GRIP、GISP2 冰芯 $\delta^{18}\text{O}$  值较其他层位出现明显的低值<sup>[26,38]</sup>,大西洋冷期(H7~H1 与 YD 期)时印度季风存在萎缩<sup>[39]</sup>。此时的青藏高原西北地区班公错介形类种类在 11.5~10.0 ka B.P.期间急剧减少,甚至消失灭绝,有机碳、氢指数也处于低值<sup>[40]</sup>。可可西里地区苟弄措湖泊沉积识别出“仙女木期”的(13.0~9.8 ka B.P.) 3 次气候颤动事件,这 3 次气候颤动事件都是以干冷气候开始湿冷气候结束<sup>[41]</sup>。受 YD 事件的影响,青藏高原南亚季风减弱,冬季风盛行,处于冰缘环境的若尔盖盆地与玛曲断陷谷地,此时期的地表冻融作用使得地表的灰绿色泥沼土层发生褶皱变形。野外观察发现,除 LQB 剖面以外,冻融褶皱事件在盆地西部的 WQD 剖面<sup>[14]</sup>和 DEQ-E 剖面<sup>[22]</sup>中均有所记录。

11.7 ka B.P.之后进入全新世早期,北半球温度有所回升,气候呈现回暖趋势。阿曼南部的 Qunf 洞的石笋 $\delta^{18}\text{O}$  同位素研究表明全新世早期印度季风在中亚地区加强<sup>[42]</sup>; Leroy 等<sup>[43]</sup>对里海 GS18 钻孔研究表明,全新世早期气候变化呈现温暖但干旱的趋势。与此同时,青藏高原地区在 11.0~9.0 ka B.P.期间,印度季风和西风季风交互作用明显,虽然西风逐渐减弱后退,印度夏季风向北推进,但在全新世初期仍然呈现西风主导模式<sup>[43]</sup>。而青藏高原西北部的新疆地区温度和降水变化也表明新疆地区全新世初期仍然受西风的主要控制,并于 8.0 ka B.P. 以前长期处于干旱状态<sup>[44]</sup>。因此,在西风主导的气候模式下,若尔盖盆地高原面风力强劲,地表风沙活动盛行,黄河河漫滩沙为地表风沙活动提供了丰富的物源。位于冰水—洪积扇前缘的 LQB 剖面形成了风沙与泥沼土互层沉积,粒度分析结果也表明这一时期的沉积物为粒径较粗的粗粉砂。盆地西部的祖哈卡 ZHK<sup>[23]</sup>、DEQ-E<sup>[22]</sup>剖面在此时期沉积了约 2 m 厚的过渡黄土地层,盆地东部唐克附近的 JYM<sup>[9]</sup>、WQD<sup>[14]</sup>剖面在这一阶段发育了 3~5 m 厚的河漫滩与风沙互层沉积。

8.5~3.1 ka B.P.对应于全新世中期,气候温暖湿润期,诸多研究表明,全新世中期气候开始由干冷向温暖湿润转变,如处于中纬度阿拉伯地区石笋研究表明印度夏季风降水在全新世中期明显加强<sup>[42]</sup>; 南极冰盖西部 Divide 冰芯结果也显示南极洲夏季温度从全新世早期

开始上升并于 4.1 ka B.P. 达到峰值<sup>[43]</sup>。青藏高原和黄土高原的炭屑、有机质、孢粉等环境指标也都记录了全新世中期 (9.0~3.8 ka B.P.) 冬季风减弱, 东亚夏季风明显增强<sup>[44-46]</sup>。如在此时期地处青藏高原北缘的猪野泽地区泥碳结果表明在 7.5~5.0 cal.ka B.P. 白碱湖出现了 3 次高湖面<sup>[47]</sup>。而 RM、RH 钻孔岩芯中的孢粉记录表明了全新世中期 (8.2~5.8 ka B.P.) 温暖湿润的特征<sup>[44-45]</sup>。通过野外考察也发现若尔盖盆地不同地区 (JYM<sup>[9]</sup>、WQD<sup>[14]</sup>、LQB、DEQ-E<sup>[22]</sup>、ZHK<sup>[23]</sup>) 等多个剖面也都发育了约 50~100 cm 的古土壤沉积地层。在温暖湿润的气候驱使下, 冰水—洪积扇前缘的 LQB 剖面风化成壤作用强烈, 古土壤发育。

3.1 ka B.P. 之后进入全新世晚期, 全球气候变得较冷。氧同位素、敦德冰芯、董哥洞石笋、太阳辐射、孢粉等指标均反映全新世晚期气候相对较冷<sup>[48-52]</sup>。青藏高原西北部多个湖泊介形类化石研究表明该时期气候向干旱化方向发展<sup>[34]</sup>。若尔盖红原泥炭孢粉研究结果显示 3.3 ka B.P. 之后, 乔木孢粉百分比含量明显下降<sup>[44]</sup>。RM 钻孔岩心的孢粉也记录到亚高山常绿针叶林退缩, 植被类型向冷干气候生态适应趋势演替<sup>[52]</sup>。在此时期青藏高原冬季风逐渐加强, 夏季风减弱降水减少, 气候相对干旱, 风沙活动盛行, 搬运起近源沙地和风沙地的粗粉砂, 在冰水—洪积扇前缘堆积, 但在全新世晚期的后期因温度和湿度回升<sup>[6,12,18]</sup>, 生物风化成壤作用增强而被改造成为亚高山草甸黑土。

## 6 结论

(1) LQB 剖面底部的古冰水扇—洪积扇沉积物形成于 14.5 ka B.P. 之前, 其上的灰绿色泥沼土层在 14.5~11.7 ka B.P. 之间形成, 其顶部的冻融褶皱变形发生在 12.7~11.7 ka B.P.; 在 11.7~8.5 ka B.P. 期间, 风成沙与泥沼土互层形成; 8.5~3.1 ka B.P. 期间古土壤发育, 3.1 ka B.P. 之后, 亚高山草甸黑土发育形成。

(2) LQB 剖面底部的泥沼土层沉积属于细粉砂质沙, 具水平层理, 为冰水扇—洪积扇前沿浅洼地静水状态下的沼泽沉积; 而覆盖其上的风沙与泥沼土互层, 分选一般, 以细粉砂为主, 并受到单一的沉积动力环境影响, 是强劲风力搬运作用的风成沙, 在区域浅洼地堆积形成了风沙与泥沼土互层; 剖面上部的古土壤与现代草甸土均为细砂质粉沙, 但古土壤的值粒径和平均粒径均低于现代草甸土, 说明古土壤的成壤强度高于现代草甸土, 指示了古土壤形成时的气候环境要比现代温暖湿润。

(3) 14.5 ka B.P. 之前的末次冰期, 出自西倾山东端的哇日河的冰水—山洪过程活跃, 在山麓快速堆积, 形成了厚层的冰水扇—洪积扇沙砾石层; 14.5~11.7 ka B.P. 的

Bølling~Allerød 暖期, 冰川融化, 冰水—洪积扇前沿洼地形成了淤泥质沼泽环境, 堆积发育了灰绿色砂质粉砂沉积物; 其顶部的冻融褶皱发育于 12.7~11.7 ka B.P., 对应于末次冰消期 Younger Dryas 寒冷事件, 地表冻融作用使得地表灰绿色泥沼土层上部发生了褶皱变形; 11.7~8.5 ka B.P.的全新世早期, 地表风沙活动盛行, 在强劲高原面风动力作用下, 盆地内浅洼地开始堆积粉砂为主的风沙, 地表发育为风沙与泥沼土互层沉积物; 8.5~3.1 ka B.P.气候温暖湿润期, 温度升高, 降雨增加, 地表沉积物风化成壤作用强烈, 开始发育古土壤; 3.1 ka B.P.以来, 气候相对于干旱温凉, 风沙活动再次盛行, 但在全新世晚期的后期因温度和湿度回升, 生物风化成壤作用增强而被改造成为亚高山草甸黑土。

#### 参考文献 (References)

- [1] Reid W V, Chen D, Goldfarb L, et al. Earth system science for global sustainability: Grand challenges: Progress in understanding and addressing both global environmental change and sustainable development requires better integration of social science research[J]. *Science*, 2010, 330(6006): 916-917.
- [2] Hu H P, Ye B S, Zhou Y H, et al. A land surface model incorporated with soil freeze/thaw and its application in GAME/Tibet[J]. *Science in China Series D: Earth Sciences*, 2006, 49(12): 1311-1322.
- [3] 姚檀栋, 朱立平. 青藏高原环境变化对全球变化的响应及其适应对策[J]. *地球科学进展*, 2006, 21(5): 459-464. [Yao Tandong, Zhu Liping. The response of environmental changes on Tibetan Plateau to global changes and adaptation strategy[J]. *Advances in Earth Science*, 2006, 21(5): 459-464.]
- [4] 陈豆, 肖奇立, 张玉柱, 等. 黄河源玛曲段全新世风成黄土—古土壤序列风化成壤特征以及古气候演变[J]. *地理研究*, 2022, 41(8): 2277-2294. [Chen Dou, Xiao Qili, Zhang Yuzhu, et al. Weathering and pedogenesis of the Holocene aeolian loess-paleosol section and paleoclimate evolution in the Maqu reach in the Yellow River source area[J]. *Geographical Research*, 2022, 41(8): 2277-2294.]
- [5] 黄春长. 若尔盖盆地河流古洪水沉积及其对黄河水系演变问题的启示[J]. *地理学报*, 2021, 76(3): 612-625. [Huang Chunchang. Palaeoflood deposits in the Zoige Basin and the enlightening on the Formation of the Yellow River drainage system on the Tibetan Plateau[J]. *Acta Geographica Sinica*, 2021, 76(3): 612-625.]
- [6] Wang N, Zha X C, Huang C C, et al. Age and causes of the Yellow River dissecting the Zoige Basin in the eastern Tibetan Plateau, China[J]. *Science of the Total Environment*, 2023, 857: 159481.
- [7] 沈才明, 唐颌余, 王苏民, 等. 若尔盖盆地 RM 孢粉记录及其年代序列[J]. *科学通报*, 2005, 50(3): 246-254. [Shen Caiming, Tang Lingyu, Wang Sumin, et al. Pollen records and time scale for the RM core of the Zoige Basin, northeastern Qinghai-Tibetan Plateau[J]. *Chinese Science Bulletin*, 2005, 50(3): 246-254.]
- [8] Zhang Pingzhong, Wang Xianbin, Chen Jianfa, et al.  $\delta^{13}\text{C}$  values and hydrogen index records in sediment organic matter of RH core of Zoige Basin, eastern Qing-Zang (Tibet) Plateau and their environmental significance[J]. *Science in China (Series B)*, 1995, 38(8): 1015-1024.
- [9] 王兆夺, 黄春长, 周亚利, 等. 若尔盖盆地黄河第一湾河岸沉积地层序列及其成因研究[J]. *冰川冻土*, 2022, 44(4): 1175-1187. [Wang Zhaoduo, Huang Chunchang, Zhou Yali, et al. Formation of the sedimentary stratigraphy at the first bend of the Yellow River in the Zoige Basin[J]. *Journal of Glaciology and Geocryology*, 2022, 44(4): 1175-1187.]
- [10] 柴佳楠, 查小春, 黄春长, 等. 若尔盖盆地黄河辖曼段河岸沉积物成因判别[J]. *兰州大学学报 (自然科学版)*, 2021, 57(5): 600-607. [Chai Jia'nan, Zha Xiaochun, Huang Chunchang, et al. Identification of the sediments on the riverbank of the Yellow River in the Xiaman reach of the Zoige Basin[J]. *Journal of Lanzhou University (Natural Sciences)*, 2021, 57(5): 600-607.]



- [11] Xiao Q L, Zhang Y Z, Wang N L, et al. Paleochannel of the Yellow River within the Zoige Basin and its environmental significance on the NE Tibetan Plateau[J]. *Science of the Total Environment*, 2022, 853: 158242.
- [12] 韩宜欣, 查小春, 黄春长, 等. 若尔盖盆地黄河出口段一级阶地沉积序列及其环境变化研究[J]. *地理科学*, 2023, 44(5): 922-931. [Han Yixin, Zha Xiaochun, Huang Chunchang, et al. Sedimentary sequence and environment change of the first terrace in the outlet reach of the Yellow River in the Zoige Basin[J]. *Scientia Geographica Sinica*, 2023, 44(5): 922-931.]
- [13] 胡光印, 董治宝, 张正偲, 等. 若尔盖盆地起沙风况与输沙势特征[J]. *中国沙漠*, 2020, 40(5): 20-24. [Hu Guangyin, Dong Zhibao, Zhang Zhengcai, et al. The regime of sand driving wind and sand drift potential in Zoige Basin[J]. *Journal of Desert Research*, 2020, 40(5): 20-24.]
- [14] 周家和, 周亚利, 黄春长, 等. 若尔盖黄河唐克段河岸沉积序列测年及地表过程变化[J]. *冰川冻土*, 2022, 44(4): 1188-1202. [Zhou Jiahe, Zhou Yali, Huang Chunchang, et al. Chronology of the sedimentary sequence and the changes in surface processes along the Tangke reach of the Yellow River in the Zoige Basin[J]. *Journal of Glaciology and Geocryology*, 2022, 44(4): 1188-1202.]
- [15] Hu G Y, Yu L P, Dong Z B, et al. Holocene aeolian activity in the Zoige Basin, northeastern Tibetan Plateau, China[J]. *CATENA*, 2018, 160: 321-328.
- [16] 王建兵, 王素萍, 汪治桂. 1971~2010年若尔盖湿地潜在蒸散量及地表湿润度的变化趋势[J]. *地理科学*, 2015, 35(2): 245-250. [Wang Jianbing, Wang Suping, Wang Zhigui. The variety characters of potential evapotranspiration and soil surface humidity index in the Zoige wetland in 1971-2010[J]. *Scientia Geographica Sinica*, 2015, 35(2): 245-250.]
- [17] 潘保田, 李吉均, 周尚哲. 黄河最上游发育历史初步研究[C]//中国地理学会地貌与第四纪专业委员会. 地貌过程与环境. 北京: 地震出版社, 1993: 17-21. [Pan Baotian, Li Jijun, Zhou Shangzhe. Geomorphological process and environment[C]// Study on the forming history of the upper-most Yellow River(in Chinese), The Geographical Society of China. Geomorphological Process and Environment. Beijing: Earthquake Press, 1993: 17-21.]
- [18] 王娜, 查小春, 黄春长, 等. 青藏高原东部黄河切开若尔盖湖盆的沉积证据与年代研究[J]. *地理科学进展*, 2022, 41(8): 453-466. [Wang Na, Zha Xiaochun, Huang Chunchang, et al. Sedimentary evidence and age of the Zoige Basin dissected by the Yellow River in eastern Tibetan Plateau[J]. *Progress in Geography*, 2022, 41(8): 453-466.]
- [19] Murray A S, Wintle A G. Luminescence dating of quartz using an improved single-aliquot regenerative-dose protocol[J]. *Radiation Measurements*, 2000, 32(1): 57-73.
- [20] Prescott J R, Hutton J T. Cosmic ray contributions to dose rates for luminescence and ESR dating: Large depths and long-term time variations[J]. *Radiation Measurements*, 1994, 23(2/3): 497-500.
- [21] Galbraith R F, Roberts R G, Laslett G M, et al. Optical dating of single and multiple grains of quartz from Jinmium rock shelter, northern Australia: Part I, experimental design and statistical models[J]. *Archaeometry*, 1999, 41(2): 339-364.
- [22] 肖奇立, 陈豆, 张玉柱, 等. 黄河源玛曲段末次冰消期以来古洪水事件与冻融褶皱现象研究[J]. *第四纪研究*, 2022, 42(4): 1010-1026. [Xiao Qili, Chen Dou, Zhang Yuzhu, et al. Palaeoflood events and periglacial involutions during the last deglaciation in the Maqu reach in the Yellow River source area[J]. *Quaternary Sciences*, 2022, 42(4): 1010-1026.]
- [23] Jia Y N, Zhang Y Z, Huang C C, et al. Late Pleistocene-Holocene aeolian loess-paleosol sections in the Yellow River source area on the northeast Tibetan Plateau: Chronostratigraphy, sediment provenance, and implications for paleoclimate reconstruction[J]. *CATENA*, 2022, 208: 10577.
- [24] 庞奖励, 黄春长. 青藏高原冰芯记录与黄土堆积和深海沉积记录之对比[J]. *高原气象*, 2000, 19(4): 504-511. [Pang Jiangli, Huang Chunchang. Correlation between climate change of ice-core on Qinghai-Xizang Plateau and loess-paleosol sequence, marine isotope stage[J]. *Plateau Meteorology*, 2000, 19(4): 504-511.]
- [25] Grootes P M, Stuiver M, White J W C, et al. Comparison of oxygen isotope records from the GISP2 and GRIP Greenland ice cores[J]. *Nature*, 1993, 366(6455): 552-554.
- [26] 施雅风, 郑本兴, 姚檀栋. 青藏高原末次冰期最盛时的冰川与环境[J]. *冰川冻土*, 1997, 19(2): 97-113. [Shi Yafeng, Zheng Benxing, Yao Tandong. Glaciers and Environments during the Last Glacial Maximum (LGM) on the Tibetan Plateau[J].

- Journal of Glaciology and Geocryology, 1997, 19(2): 97-113.]
- [27] Yao T D, Thompson L G, Shi Y F, et al. Climate variation since the Last Interglaciation recorded in the Guliya ice core[J]. Science in China Series D: Earth Sciences, 1997, 40(6): 662-668.
- [28] 王富葆, 阎革, 林本海. 若尔盖高原泥炭  $\delta^{13}\text{C}$  的初步研究[J]. 科学通报, 1993, 38(1): 65-67. [Wang Baofu, Yan Ge, Lin Benhai. Preliminary study on  $\delta^{13}\text{C}$  of peat in Zoige Plateau[J]. Chinese Science Bulletin, 1993, 38(1): 65-67.]
- [29] Skinner L C, Fallon S, Waelbroeck C, et al. Ventilation of the deep southern ocean and deglacial  $\text{CO}_2$  rise[J]. Science, 2010, 328(5982): 1147-1151.
- [30] Blanchon P, Shaw J. Reef drowning during the last deglaciation: Evidence for catastrophic sea-level rise and ice-sheet collapse[J]. Geology, 1995, 23(1): 4-8.
- [31] 张丹, 王张华, 李卫康, 等. 现代长江口的形成及末次冰消期以来沉积环境演变[J]. 海洋地质与第四纪地质, 2010, 30(2): 17-25. [Zhang Dan, Wang Zhanghua, Li Weikang, et al. Formation of modern Yangtze estuary and sedimentary environmental evolution since the last deglaciation[J]. Marine Geology & Quaternary Geology, 2010, 30(2): 17-25.]
- [32] 沈吉. 末次盛冰期以来中国湖泊时空演变及驱动机制研究综述: 来自湖泊沉积的证据[J]. 科学通报, 2012, 57(34): 3228-3242. [Shen Ji. Spatiotemporal variations of Chinese lakes and their driving mechanisms since the Last Glacial Maximum: A review and synthesis of lacustrine sediment archives[J]. Chinese Science Bulletin, 2012, 57(34): 3228-3242.]
- [33] Zhao W W, Zhao Y, Feng Q. Holocene fire, vegetation, and climate dynamics inferred from charcoal and pollen record in the eastern Tibetan Plateau[J]. Journal of Asian Earth Sciences, 2017, 147: 9-16, doi: 10.1016/j.jseae.2017.07.017.
- [34] 胡东生, 张华京, 李炳元, 等. 青藏高原腹地湖泊沉积序列与古气候变化[J]. 地质学报, 2000, 74(4): 364-371. [Hu Dongsheng, Zhang Jinghua, Li Bingyuan, et al. Lacustrine sedimentary sequences and palaeoclimatic change in the hinterland of the Qinghai-Tibet Plateau[J]. Acta Geologica Sinica, 2000, 24(4): 364-371.]
- [35] 陈莹璐, 黄春长, 张玉柱, 等. 黄河源区玛曲段末次冰消期古洪水事件及其光释光测年研究[J]. 冰川冻土, 2017, 39(3): 549-562. [Chen Yinglu, Huang Chunchang, Zhang Yuzhu, et al. Study of the sedimentology and OSL dating of the Last Deglaciation paleoflood events along Maqu section in the source regions of the Yellow River[J]. Journal of Glaciology and Geocryology, 2017, 39(3): 549-562.]
- [36] 潘保田, 郇光剑. 青藏高原东北部最近两次冰期降温幅度的初步估算[J]. 干旱区地理, 1997, 20(2): 17-24. [Pan Baotian, Wu Guangjian. Preliminary estimation on the drop range in temperature during the last two glaciations in the northeastern Qinghai-Xizang Plateau[J]. Arid Land Geography, 1997, 20(2): 17-24.]
- [37] 崔之久. 试论多年冻土的冰缘标志及冰川与冰缘作用的关系问题[J]. 冰川冻土, 1980, 2(2): 1-6. [Cui Zhijiu. On the periglacial markers of permafrost and the relationship between glaciers and periglacial interaction[J]. Journal of Glaciology and Geocryology, 1980, 2(2): 1-6.]
- [38] 姚檀栋. 末次冰期青藏高原的气候突变: 古里雅冰芯与格陵兰 GRIP 冰芯对比研究[J]. 中国科学(D辑): 地球科学, 1999, 29(2): 175-184. [Yao Tandong. Abrupt climatic changes on the Tibetan Plateau during the Last Ice Age-Comparative study of the Guliya ice core with the Greenland GRIP ice core[J]. Science China (Seri. D): Earth Sciences, 1999, 29(2): 175-184.]
- [39] 鹿化煜, 周杰. Heinrich 事件和末次冰期气候的不稳定性[J]. 地球科学进展, 1996, 11(1): 40-44. [Lu Huayu, Zhou Jie. Heinrich events and instability of palaeoclimate in last glacial Period[J]. Advances in Earth Science, 1996, 11(1): 40-44.]
- [40] 李元芳, 张青松, 李炳元, 等. 青藏高原西北部 17000 年以来的介形类及环境演变[J]. 地理学报, 1994, 49(1): 46-54. [Li Yuanfang, Zhang Qingsong, Li Bingyuan, et al. Ostracod fauna and environmental changes during the past 17 000 years in the western Tibet[J]. Acta Geographica Sinica, 1994, 49(1): 46-54.]
- [41] 胡东生, 张华京, 李炳元, 等. 青藏高原腹地湖泊沉积纪录的“仙女木期”古气候颤动事件[J]. 地质学报, 2002, 76(2): 272-278. [Hu Dongsheng, Zhang Huajing, Li Bingyuan, et al. Paleoclimatic oscillation events of the Dryas Period: Evidence from the record of lake records of Late sediments in the interior of the Qinghai-Tibet Plateau[J]. Acta Geologica Sinica, 2002, 76(2): 272-278.]

- [42] Fleitmann D, Burns S J, Mudelsee M, et al. Holocene forcing of the Indian monsoon recorded in a stalagmite from southern Oman[J]. *Science*, 2003, 300(5626): 1737-1739.
- [43] Leroy S A G, López-Merino L, Tudryn A, et al. Late Pleistocene and Holocene palaeoenvironments in and around the Middle Caspian Basin as reconstructed from a deep-sea core[J]. *Quaternary Science Reviews*, 2014, 101: 91-110.
- [44] 孙广友, 罗新正, Turner R E. 青藏东北部若尔盖高原全新世泥炭沉积年代学研究[J]. *沉积学报*, 2001, 19(2): 177-181, 206. [Sun Guangyou, Luo Xinzheng, Turner R E. A study on peat deposition chronology of Holocene of Zorge Plateau in the Northeast Qinghai-Tibetan Plateau[J]. *Acta Sedimentologica Sinica*, 2001, 19(2): 177-181, 206.]
- [45] 周卫建, 卢雪峰, 武振坤, 等. 若尔盖高原全新世气候变化的泥炭记录与加速器放射性碳测年[J]. *科学通报*, 2001, 46(12): 1040-1044. [Zhou Weijian, Lu Xuefeng, Wu Zhenkun, et al. Peat record reflecting Holocene climatic change in the Zoigê Plateau and AMS radiocarbon dating[J]. *Chinese Science Bulletin*, 2001, 46(12): 1040-1044.]
- [46] Jones T R, Cuffey K M, Roberts W H G, et al. Seasonal temperatures in West Antarctica during the Holocene[J]. *Nature*, 2003, 423(7033): 292-297.
- [47] 隆浩, 王乃昂, 李育, 等. 猪野泽记录的季风边缘区全新世中期气候环境演化历史[J]. *第四纪研究*, 2007, 27(3): 371-381. [Long Hao, Wang Naiang, Li Yu, et al. Mid-Holocene climate variations from lake records of the east Asian monsoon margin: A multi-proxy and geomorphological study[J]. *Quaternary Science*, 2007, 27(3): 371-381.]
- [48] Wünnemann B, Yan D D, Andersen N, et al. A 14 ka high-resolution  $\delta^{18}\text{O}$  lake record reveals a paradigm shift for the process-based reconstruction of hydroclimate on the northern Tibetan Plateau[J]. *Quaternary Science Reviews*, 2018, 200: 65-84, doi: 10.1016/j.quascirev.2018.09.040.
- [49] 姚檀栋, Thompson L G. 敦德冰芯记录与过去 5ka 温度变化[J]. *中国科学 (B辑): 地球科学*, 1992, 22(10): 1089-1093. [Yao Tandong, Thompson L G. Dounland ice core records of temperature changes over the past 5ka [J]. *Science China (Seri. B): Earth Sciences*, 1992, 22(10): 1089-1093.]
- [50] 张美良, 袁道先, 林玉石, 等. 贵州荔波董哥洞 3 号石笋的同位素年龄及古气候信息[J]. *沉积学报*, 2001, 19(3): 425-432. [Zhang Meiliang Yuan Daoxian, Lin Yushi, et al. Isotopic ages and Paleoclimatic implications of No. 1 stalagmite from Dongge Cave in Libo[J]. *Acta Sedimentologica Sinica*, 2001, 19(3): 425-432.]
- [51] Laskar J, Fienga A, Gastineau M, et al. La2010: A new orbital solution for the long-term motion of the Earth[J]. *Astronomy & Astrophysics*, 2011, 532: A89, doi: 10.1051/0004-6361/201116836.
- [52] 刘光, 沈永平, 张平中, 等. 青藏高原若尔盖地区 RH 孔 800~150ka.B.P. 的孢粉记录及古气候意义[J]. *沉积学报*, 1994, 12(4): 101-109. [Liu Guang, Shen Yongping, Zhang Pingzhong, et al. Pollen record and its palaeoclimatic significance between 800-150ka. B. P. from RH-core in zoige Basin in Qinghai-Xizang (Tibet) Plateau[J]. *Acta Sedimentologica Sinica*, 1994, 12(4): 101-109.]

## **Sedimentary Environment and Surface Process since the Last Deglaciation in Maqu Reach of the Yellow River in the Zoige Basin**

BAI Xin<sup>1</sup>, ZHA XiaoChun<sup>1</sup>, HUANG ChunChang<sup>1</sup>, ZHOU YaLi<sup>1</sup>, PANG JiangLi<sup>1</sup>, ZHANG YuZhu<sup>2</sup>, WANG Na<sup>1</sup>, HAN YiXin<sup>1</sup>

1. School of Geography and Tourism, Shaanxi Normal University, Xi'an 710119, China

2. Shaanxi Key Laboratory of Earth Surface System and Environmental Carrying Capacity, College of Urban and Environmental Sciences, Northwest University, Xi'an 710127, China

**Abstract:** [Objective] The surface environment of the Zoige Basin is very complex, which is located in a climate-sensitive area. It is of great significance to reveal the response of the surface processes to environmental changes in the Zoige Basin since the last deglaciation, as well as the response of environmental changes and surface processes on the Tibetan Plateau to global changes. [Methods] Through extensive investigation, a complete stratigraphic profile of sedimentary sequence was found and systematically sampled on the high platform in the front of the glacial- alluvial fan in Maqu reach of Zoige Basin, and the sedimentary environment and surface process changes since the last deglaciation in Zoige Basin were studied by particle size analysis and optically stimulated luminescence (OSL) dating. [Results] During the last glacial period before 14.5 ka, the ice meltwater and mountain flood process in the Warihe River at the east end of Xiqing Mountain was very active and accumulated rapidly in the foothills, forming a thick glacial- alluvial fan sand and gravel layer. During the Bølling-Allerød warm period of 14.5~11.7 ka, the climate was warm and humid, and the silty swamp environment formed in the depressions at the front of the glacial and alluvial fans and developed gray-green sandy sediments. However, during the Younger Dryas period, the climate suddenly worsened, and the upper part of the gray-green bog soil layer in the shallow depression was folded and deformed due to surface freeze-thaw action. In the early Holocene period from 11.7 ka to 8.5 ka, the climate was relatively dry and the aeolian sand was prevalent, the coarse silt accumulated in the shallow depression and the interbedded sedimentary facies of aeolian sand and bog soil developed under the strong wind power of the plateau surface. During the warm and humid period of 8.5 ka to 3.1 ka, the pedogenesis was strong, and the clay content in sediments increased significantly and developed into the paleosol. In the late Holocene from 3.1 ka, the climate was relatively dry and wind-sand activities were prevalent. The coarse silt accumulated in the late Holocene was transformed into subalpine meadow black soil due to the rising temperature and humidity. [Conclusions] It indicated that the sedimentary environment and surface processes of the Zoige Basin since the last deglaciation are important information carriers to reveal regional environmental evolution, and responded to the evolution law of global environmental change.

**Key words:** Zoige Basin; Maqu reach; Yellow River; last deglaciation; surface process; environment change